

La symétrisation de Steiner

Pierre Legrand(*)

Introduction⁽¹⁾ : un peu d'histoire

Jakob Steiner⁽²⁾, un des derniers grands spécialistes de géométrie pure, exposa [1] en 1838 un ingénieux procédé de transformation des figures, qui fut très vite appelé *symétrisation de Steiner*.

On a cependant récemment exhumé un texte [2] publié en 1814 dans les *Annales de mathématiques pures et appliquées*, où ce même procédé était sommairement défini et utilisé. Le texte, signé « un abonné », émanait en fait de Joseph Gergonne, responsable et homme-orchestre du journal⁽³⁾.

Steiner et avant lui Gergonne ont introduit cette symétrisation dans le but de démontrer l'*inégalité isopérimétrique* : « de toutes les surfaces planes de même contour le cercle est celle qui a le plus d'étendue », selon les propres termes de Gergonne. Hélas, la démonstration de ce dernier n'est qu'une esquisse et celle de Steiner, plus fouillée, a très vite été contestée, notamment par Dirichlet puis par Weierstrass. Steiner s'était en effet contenté de prouver que, si une figure a la propriété extrémale en question, ce ne peut être qu'un disque ; mais encore faut-il prouver l'*existence* d'une telle figure extrémale.

Curieux retournement de l'histoire : cette symétrisation permet de démontrer, en toute rigueur et simplement, une autre inégalité célèbre. Il s'agit de l'*inégalité isodiamétrale* (Bieberbach [3], 1915) : pour un diamètre donné (le diamètre d'une figure étant la plus grande distance⁽⁴⁾ de ses points deux à deux) la figure d'aire maximum est le disque. C'est à elle que nous allons nous attacher.

1. Définition

On se place désormais dans un plan rapporté à un repère orthonormal Oxy , Ox étant considéré comme horizontal et orienté vers la droite, Oy comme vertical et orienté vers le haut.

(*) p.m.legrand@sfr.fr

(1) Cet article fait suite à l'article « Diamètres et aires » du B.V. n° 507, mais il en est totalement indépendant.

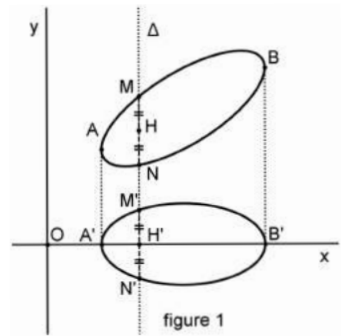
(2) Le portrait est issu de Wikipedia.

(3) Ce journal est d'ailleurs souvent appelé *Journal de Gergonne*.

(4) En toute rigueur, le diamètre est la *borne supérieure* des distances mutuelles ; mais comme on n'envisage ici que des compacts, cette borne supérieure est atteinte.



Soit dans le plan une région E coupée par toute verticale Δ selon un segment $[NM]$ éventuellement réduit à un point ou à rien du tout et soit H le milieu de $[NM]$. On fait glisser $[NM]$ le long de Δ de façon à amener H en H' sur Ox ; M vient alors en M' et N en N' . Quand l'abscisse x de Δ varie, $[N'M']$ balaie une région E' qui est dite la symétrisée de E et qui, évidemment, admet Ox comme axe de symétrie.



Si les coordonnées de M sont $(x, f(x))$ et celles de N sont $(x, g(x))$ avec, pour tout x , $g(x) \leq f(x)$, les

coordonnées de M' sont $\left(x, \frac{f(x) - g(x)}{2}\right)$ et celles de N' sont $\left(x, \frac{g(x) - f(x)}{2}\right)$.

Remarque. On observera que ce procédé, qui consiste à faire glisser les sections parallèles à une direction donnée pour obtenir une figure plus sympathique, est fort proche de celui qu'utilisait Cavalieri, dès 1635, pour ses calculs d'aires et de volumes⁽⁵⁾ dans sa *Géométrie des indivisibles*.

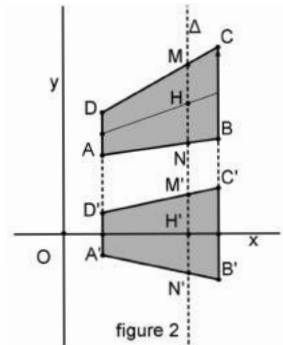
2. Symétrisé d'un polygone convexe

2.1. Exemple de départ

La première étape du travail de symétrisation est la recherche de l'image T' d'un trapèze T dont les bases sont verticales. On coupe T par une droite verticale Δ d'abscisse x . Les notations étant celles de la figure 2, les ordonnées de M et N sont des fonctions affines de

x ; $\overline{H'M'} = \frac{1}{2}\overline{NM}$ et $\overline{H'N'} = -\frac{1}{2}\overline{NM}$ sont donc aussi

des fonctions affines de x . Il en résulte que les points M' et N' décrivent des segments symétriques l'un de l'autre par rapport à Ox , et que l'image de T est un trapèze isocèle d'axe de symétrie Ox .



2.2. Propriété 1

Le symétrisé d'un polygone convexe est un polygone.

Si l'on coupe le polygone donné Π par les parallèles à Oy issues de ses sommets, on le divise en un certain nombre de trapèzes (les deux trapèzes extrêmes pouvant, comme sur la figure 3, être réduits à des triangles). Le symétrisé Π' du polygone est la réunion des symétrisés de ces trapèzes, donc un polygone.

(5) Voir dans le Bulletin vert n° 497 p. 93-105 l'article de Marcel Franz, « Méthodes des indivisibles ».

Remarque : Comme on le voit sur la figure 3, la symétrisation a un inconvénient : elle augmente habituellement le nombre de sommets du polygone. Plus précisément, si le n -gone Π n'a ni côté vertical ni diagonale verticale, son image Π' a $2 + 2(n - 2)$ sommets ; c'est donc un $(2n - 2)$ -gone.

Propriété 2

Le symétrisé d'un polygone convexe est convexe.

Découpons comme précédemment (voir figure 3) le polygone convexe Π en trapèzes T_1, T_2, \dots, T_n à bases verticales, la numérotation se faisant de gauche à droite.

Notons $y = a_j x + b_j$ et $y = c_j x + d_j$ les équations des bords supérieur et inférieur de T_j . Nous allons utiliser la propriété suivante : étant donné un polygone coupé par toute verticale selon un segment (éventuellement vide ou réduit à un point), il est convexe si et seulement si, lorsqu'on décrit son bord supérieur (resp. inférieur) de gauche à droite, la pente des côtés diminue (resp. augmente).

La suite des a_j est donc décroissante et la suite des c_j croissante.

Le bord supérieur de T'_j , symétrisé de T_j a pour équation

$$y = \frac{1}{2}(a_j - c_j)x + \frac{1}{2}(b_j - d_j).$$

La suite des $\frac{1}{2}(a_j - c_j)$ est décroissante (demi-somme de deux suites décroissantes) ;

le bord inférieur de T'_j a pour pente $-\frac{1}{2}(a_j - c_j)$, qui croît avec j . Le polygone Π' image de Π est donc convexe.

Propriété 3

Le symétrisé d'un polygone convexe a même aire que lui.

Il suffit d'utiliser la décomposition en trapèzes ci-dessus : T'_j , a même longueur de bases et de hauteur que T_j , donc même aire.

Propriété 4

Le symétrisé Π' d'un polygone convexe Π a un diamètre au plus égal à celui de Π .

Soit $[P'Q']$ un diamètre de Π' . Si ce diamètre est vertical ou porté par Ox , le résultat est évident. On écarte désormais ces cas.

Appelons R' et S' les symétriques de P' et Q' par rapport à Ox . P' et Q' sont évidemment sur le bord de Π' , mais ils sont en outre de part et d'autre de Ox . S'ils ne l'étaient pas, P' et S' seraient de part et d'autre de la médiatrice Ox de $[S'Q']$ et l'on aurait $P'Q' < P'S'$: $[P'Q']$ ne serait pas un diamètre.

Soit P, Q, R, S les points dont P', Q', R', S' sont les images. Une translation de Π parallèlement à Oy laisse Π' inchangé. Il n'est donc pas restrictif de supposer $P = P'$,

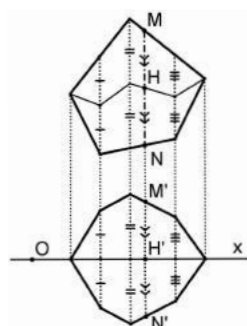


figure 3

$R = R'$. Appelons U le milieu de $[PR]$, V celui de $[Q'S']$, W celui de $[QS]$.

Une même translation verticale fait passer de S, W, Q à S', W', Q' . Il n'est pas restrictif de supposer que, comme sur la figure, cette translation est de mesure positive (le long de Oy). Si H désigne la projection de P' sur la droite $(S'Q')$, on a $P'Q'^2 = P'H^2 + HQ'^2$ et $P'Q^2 = P'H^2 + HQ^2$; de $HQ' \leq HQ$ on tire donc $P'Q' \leq P'Q$. Le diamètre de Π' est donc inférieur au sens large à une « corde » de Π et a fortiori à son diamètre.

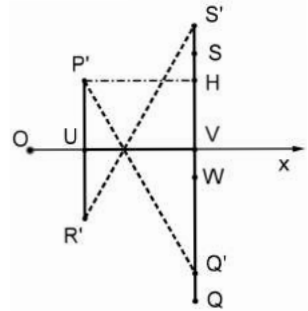


figure 4

Récapitulation

La symétrisation de Steiner transforme tout polygone convexe en un polygone convexe possédant un axe de symétrie, qui a même aire que le premier et dont le diamètre est au plus égal au sien.

Parenthèse

La symétrisation de Steiner a une autre propriété intéressante, qui ne nous servira pas dans la suite, mais qui a servi à Gergonne et Steiner :

L'image d'un polygone convexe Π par symétrisation par rapport à Ox a un périmètre inférieur à celui de Π , l'inégalité étant stricte sauf si Π a un axe de symétrie parallèle à Ox .

La démonstration repose sur les lemmes suivants :

Lemme 1 : *Si un triangle ABC a une base donnée $[BC]$ et une hauteur issue de A de longueur donnée, $AB + AC$ admet un minimum strict lorsque $AC = AB$.*

Si C' est le symétrique de C par rapport à la parallèle Δ à $[BC]$ issue de A , on a $AC + AB = AC' + AB$, qui est minimal si et seulement si C', A et B sont alignés, ce qui correspond à un triangle isocèle.

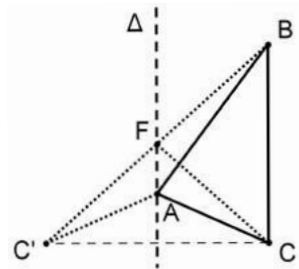


figure 5

On en déduit aussitôt ceci :

Lemme 2 : *Si un trapèze a des bases de longueur donnée et une hauteur de longueur donnée, la somme des longueurs de ses côtés obliques est minimale (strictement) lorsque le trapèze est isocèle.*

Il reste alors à utiliser la décomposition en trapèzes qui a déjà servi plusieurs fois (le détail est laissé aux bons soins du lecteur).

3. Application : inégalité isodiamétrale

Théorème

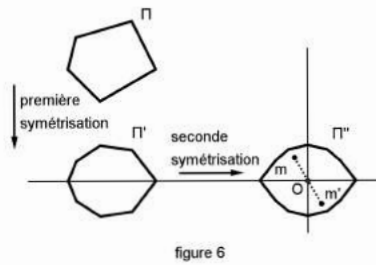
L'aire de tout polygone convexe de diamètre d est strictement inférieure à celle du

disque de même diamètre, c'est-à-dire $\frac{\pi}{4}d^2$.

L'idée de la démonstration : On applique deux fois de suite la symétrisation de Steiner, dans deux directions orthogonales ; on obtient alors un polygone ayant un centre de symétrie, dont il est immédiat de majorer l'aire par celle d'un disque.

Détail du raisonnement :

On part d'un polygone convexe Π d'aire S , de diamètre d . En lui appliquant la symétrisation de Steiner parallèlement à Oy , on obtient un polygone convexe Π' d'aire S , de diamètre d' ($d' \leq d$), ayant Oy comme axe de symétrie. En appliquant à Π' la symétrisation de Steiner parallèlement à Ox , on obtient un polygone convexe Π'' d'aire S , de diamètre d'' ($d'' \leq d' \leq d$), qui a les deux axes de symétrie Ox et Oy , donc qui admet O pour centre de symétrie.



Prenons dans Π'' un point quelconque m et son symétrique m' par rapport à ce centre.

La distance mm' est au plus égale à d'' , donc $Om \leq \frac{1}{2}d''$ et *a fortiori* $Om \leq \frac{1}{2}d$. Π''

est donc inclus dans le disque fermé de centre O et de rayon $\frac{1}{2}d$, dont l'aire est

$\frac{\pi}{4}d^2$. Finalement, donc, $S \leq \frac{\pi}{4}d^2$, l'inégalité étant stricte car un polygone ne peut recouvrir entièrement un disque qui le contient.

Remarque. Dans l'inégalité isodiamétrale, le facteur $\frac{\pi}{4}$ ne peut pas être remplacé

par un nombre plus petit. Prenons en effet un n -gone régulier inscrit dans un cercle de rayon R , avec n pair. Son diamètre d vaut $2R$ (les sommets sont deux à deux diamétralement opposés sur le cercle) et son aire approche évidemment d'autant près qu'on veut celle du cercle. Faisons les choses en forme : cette aire est

$S = \frac{n}{2}R^2 \sin \frac{2\pi}{n}$, donc $\frac{S}{d^2} = \frac{n}{8} \sin \frac{2\pi}{n}$; quand n tend vers l'infini, $\frac{S}{d^2} \approx \frac{n}{8} \times \frac{2\pi}{n}$ et

$\frac{S}{d^2}$ tend vers $\frac{\pi}{4}$.

4. Extension de l'étude à un compact convexe

Si l'on accepte de déborder le programme des lycées, il est aisé d'étendre ce qui précède à un compact convexe quelconque. Indiquons brièvement les étapes du travail. Nous aurons besoin dans ce paragraphe et le suivant du résultat suivant :

Tout compact convexe du plan peut être défini par des inégalités $a \leq x \leq b$, $g(x) \leq y \leq f(x)$, où f et g sont continues sur $[a, b]$, f étant concave et g convexe. Réciproquement toute partie du plan ainsi définie est un compact convexe.

4.1. Le symétrisé d'un compact convexe K est un compact convexe K' .

K étant défini comme indiqué ci-dessus, K' l'est par

$$a \leq x \leq b, \frac{g(x) - f(x)}{2} \leq y \leq \frac{f(x) - g(x)}{2},$$

ce qui prouve d'une part sa compacité et d'autre part, puisque $\frac{f-g}{2}$, demi-somme des fonctions concaves f et $-g$, est concave et que son opposée $\frac{g-f}{2}$ est donc convexe, prouve aussi que K' est convexe.

4.2. Le symétrisé K' d'un compact convexe K a même aire que lui.

En effet l'aire de K est $\int_a^b (f(x) - g(x)) dx$ et celle de K' est le double de l'aire de sa partie située au dessus de Ox , soit $2 \int_a^b \frac{f(x) - g(x)}{2} dx$.

4.3. Le diamètre du symétrisé d'un compact convexe est au plus égal au sien.

Il n'y a pas un mot à changer à la démonstration faite pour les polygones.

4.4. Théorème de Bieberbach (inégalité isodiamétrale)

L'aire de tout compact convexe de diamètre d est inférieure au sens large à celle du disque de même diamètre, c'est-à-dire $\frac{\pi}{4} d^2$.

Il n'y a pas un mot à changer à la démonstration faite pour les polygones si ce n'est que l'inégalité n'est plus stricte, puisque l'égalité est réalisée pour les disques.

Remarque 1.

Nous aurions pu évidemment court-circuiter le cas des polygones et nous attaquer directement au cas des compacts convexes.

Remarque 2.

Le résultat pour les polygones convexes étant établi, on peut en déduire⁽⁶⁾ le théorème ci-dessus par passage à la limite. Un compact convexe K de diamètre d et d'aire S étant donné, on lui suppose un diamètre horizontal. Avec les notations du § 4.1., on a $S = \int_a^b (f(x) - g(x)) dx$. Coupons K en tranches verticales d'épaisseur d/n ; cela permet d'inscrire dans K un polygone convexe P_n dont l'aire S_n est tout simplement l'approximation de l'intégrale par la méthode des trapèzes. Il est bien

(6) Merci à Marc Roux pour l'idée de ce paragraphe.

connu alors que S_n tend vers S quand n tend vers l'infini. Reste à passer à la limite dans $S_n < \frac{\pi}{4}d^2$.

5. Sauf pour un disque, l'inégalité isodiamétrale est stricte

Ce point est plus délicat à établir. Il repose sur le lemme suivant :

Lemme (L)

Si le symétrisé d'un compact convexe K est un disque de même diamètre, alors K est un disque.

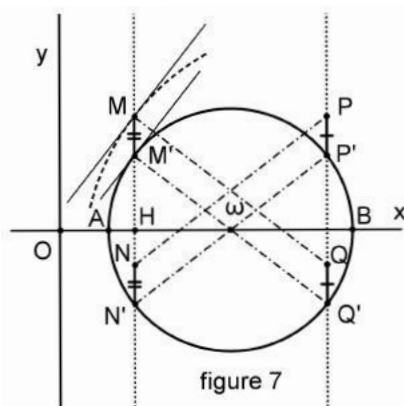
Admettons provisoirement ce lemme et considérons un compact K de diamètre d et d'aire $\frac{\pi}{4}d^2$. Effectuons sur lui les deux symétrisations successives utilisées au § 3,

donnant comme image K' puis K'' . K'' est inclus dans un disque de diamètre d et a même aire que lui ; c'est donc un disque de diamètre d . K' est donc, d'après le lemme (L), un disque de diamètre d . En appliquant cette fois le lemme (L) à K , on voit que K est un disque.

Démonstration du lemme (L)

Soit un compact K (dont on a représenté en pointillé un arc du bord supérieur) de diamètre d , dont le symétrisé K' est un disque de diamètre d (représenté ici). Soit $[AB]$ le diamètre de K' situé sur Ox . On peut toujours supposer, par translation de K parallèle à Oy , que A est sur K . Le point B est aussi sur K , sinon il serait l'image d'un point C de K tel que $AC > d$.

Considérons les points d'abscisse x sur les bords de K et K' , avec les notations de la figure 7 : M et N pour K , M' et N' pour K' . Si Q' est le point diamétralement opposé à M' sur le bord de K' , la verticale de Q' coupe le bord supérieur de K' en P' et les bords de K en P et Q .



On suppose, dans ce paragraphe seulement, que $\overline{M'M} > 0$ (dans le cas contraire, on raisonne sur $\overline{N'N}$ en changeant le sens de l'axe Oy). Montrons que $\overline{M'M} = \overline{Q'Q}$.

- Si on avait $\overline{M'M} > \overline{Q'Q}$, il en résulterait $MQ > M'Q'$, donc $MQ > d$.
- Si on avait $\overline{M'M} < \overline{Q'Q}$, c'est-à-dire aussi $\overline{N'N} < \overline{P'P}$, il en résulterait $NP > N'P'$, donc $NP > d$.
- Dans l'un et l'autre cas, le diamètre de K serait strictement supérieur à d .

Ainsi le quadrilatère $MM'Q'Q$ est un parallélogramme, d'où résulte $MQ = M'Q' = d$. Le compact K est tout entier inclus dans le disque de centre Q et de rayon d ; la tangente en M au bord supérieur de K , lorsqu'elle existe, est donc perpendiculaire à $[MQ]$ et par suite *parallèle à la tangente en M' à K'* .

Si H est le point d'abscisse x sur Ox , \overline{HM} et $\overline{HM'}$ sont deux fonctions continues de x qui, d'après ce qui précède, ont *même dérivée en tout point où la première est dérivable*.

Nous allons maintenant utiliser deux théorèmes⁽⁷⁾ :

- **T1** : Toute fonction concave ou convexe dans un intervalle y est dérivable sauf peut-être en un ensemble fini ou dénombrable de points.
- **T2** : Si une fonction continue dans un intervalle admet en tout point sauf peut-être en un ensemble fini ou dénombrable de points une dérivée nulle, elle y est constante.

La fonction $x \rightarrow \overline{HM}$ est, d'après T1, dérivable sauf peut-être en un ensemble fini ou dénombrable de points. La fonction $x \rightarrow \overline{HM'}$, représentée par un demi-cercle, est dérivable sauf en a et b . La fonction $x \rightarrow \overline{HM'} - \overline{HM}$ est donc dérivable et (d'après ce qui précède) de dérivée nulle sauf peut-être en un ensemble fini ou dénombrable de points. Comme différence de deux fonctions continues sur $[a,b]$, elle est continue sur $[a,b]$. D'après T2, c'est une constante et, comme elle est nulle pour $x = a$, elle est nulle sur $[a,b]$.

Les bords supérieurs de K et K' coïncident donc. Une symétrie suffit pour conclure.

6. Et si tout ce qui précède était inutile ?

La preuve de l'inégalité isodiamétrale donnée ci-dessus a longtemps été considérée comme la plus simple. Mais on trouve dans *A Mathematician's Miscellany* [4] de John Littlewood (1953) une démonstration ultracourte... qui est passée assez largement inaperçue.

Soit K un compact convexe de diamètre d . Son bord admet en tout point, sauf peut-être en un ensemble fini ou dénombrable de points, une tangente, qui laisse K tout entier d'un de ses côtés. On prend comme origine O un point où K ait une tangente, avec cette tangente comme axe des x , orientée de sorte que K soit tout entier du côté des y positifs. Le bord Γ de K a une équation polaire $r = \rho(\theta)$, où la fonction ρ est continue sur $[0,\pi]$.

L'aire de K est donnée par la formule classique

$$S = \frac{1}{2} \int_0^\pi \rho^2(\theta) d\theta, \text{ ce qui peut s'écrire ici :}$$

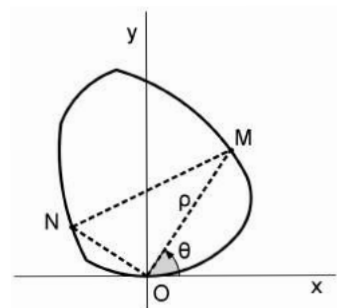


figure 8

(7) Voir par exemple dans *Fonctions d'une variable réelle*, de N. Bourbaki, ch. 1, § 4 n°3 et § 2 n° 2.

$$S = \frac{1}{2} \int_0^{\pi/2} \rho^2(\theta) d\theta + \frac{1}{2} \int_{\pi/2}^{\pi} \rho^2(\theta) d\theta = \frac{1}{2} \int_0^{\pi/2} \left(\rho^2(\theta) + \rho^2\left(\theta + \frac{\pi}{2}\right) \right) d\theta$$

Considérons sur Γ les deux points M, d'angle polaire θ , et N, d'angle polaire $\theta + \frac{\pi}{2}$.

Appliquons le théorème de Pythagore :

$$\rho^2(\theta) + \rho^2\left(\theta + \frac{\pi}{2}\right) = OM^2 + ON^2 = MN^2 \leq d^2.$$

Il en résulte que $S \leq \frac{1}{2} \int_0^{\pi/2} d^2 d\theta$, soit $S \leq \frac{\pi}{4} d^2$, CQFD !

N.B. : Littlewood ne démontre pas que l'inégalité est stricte lorsque K n'est pas un disque. Mais si un lecteur courageux veut s'y attaquer...

Références

[1] J. STEINER : *Einfache Beweise der isoperimetrischen Hauptsätze* (Démonstration simple du théorème fondamental des isopérimètres).

<http://www.e-rara.ch/zut/content/titleinfo/1368571>

[2] Joseph GERGONNE : *Annales de Mathématiques pures et appliquées* 1813-1814, page 339, « Recherche de la surface plane de moindre contour entre toutes celles de même étendue [...] ».

<http://archive.numdam.org/ARCHIVE/AMPA/>

AMPA_1813-1814__4_/AMPA_1813-1814__4_.pdf

[3] Ludwig BIEBERBACH : *Jahresbericht der Deutschen Mathematiker-Vereinigung* (Journal de la Société mathématique allemande), t. 24 (1915), p. 247-250, « Über eine Extremaleigenschaft des Kreises » (Sur une propriété extrême du cercle).

<http://www.digizeitschriften.de/dms/img/>

?PPN=PPN37721857X_0024&DMDID=dmdlog21

[4] John LITTLEWOOD : *A Mathematician's Miscellany* (Un pot-pourri mathématique), p. 10-11.

<https://archive.org/stream/mathematiciansmi033496mbp#page/n21/mode/2up>

Pour finir

Le lecteur curieux trouvera sur le site de l'APMEP, sous le titre « Un exercice de symétrisation », la résolution du problème suivant :

Comment choisir un rectangle pour que son symétrisé de Steiner soit un hexagone régulier ?